

金沢・高橋川の水質調査

金沢工業大学 正会員 山本隆彦
金沢工業大学 正会員 中川武夫
金沢工業大学 原 春美

1.はじめに

河川の水質汚濁があら限度を越えさせ、中古流入水は自然浄化能力を失なうことを、東京や大阪などの大都市域が流れ込んだ河川や埋削の水質が悪化の一途を辿っていよいよ指摘するまで多くなく早くからいたしました。著者は、金沢市金沢のどうな地方都市においても、市街地が流れ込んだ河川の水質は日増しに悪化の傾向があり、又郊外における新興住宅用地の急速にとどまないがままに済流域であつた多くの中小河川中各種用排水が、市民の生活排水路とそれが結果、公害化してしまった状況である。また、私企業による住宅地造成の場合には、共同の下水処理場が造られましたことはほとんどなく、かううじで屎の糞が各家屋の排水管で処理されましたが、大部分の生活排水はそのまま二和らの排水路内へ放散されました。本草の述導を兼ねた高橋川は、堺城沿いの住民用地の造成によって、そのまわりに住む市民の生活排水路ヒレの侵削がなされた典型的な河川の一つである。幸存せず、高橋川の流域は金沢市によつて造成せられた一部の住民用地の外は下水処理施設を有していませんが、他の大部分の流域沿いの住民用地は生活排水を高橋川へ直接流さざるを得ない。

本研究は、洗濯原水採取と雨水との水質汚濁の大部が生活排水によって河川の典型である金沢市郊外を流れ込んだ高橋川を対象として、河川内水質汚濁に対する生活排水の影響のうえを中心に、流域の市民生活の実態と水質汚濁との關係各水質汚濁の場所に対する従量的と明瞭な二点を目的とした。河川の水質汚濁の指標として、二点は便室上、化粧的確量要求量(COD)、溶存酸素(DO)、塩素イオン(Cl⁻) 及び浮遊物(SS)を基んだ。左木、塩素イオンをとくに水質汚濁の指標として理由は、又間の食生活に欠くことのできない食塩(NaCl)が水に溶けたときに生じた塩素イオンが、二点は対象として生活排水によって河川の水質汚濁の指標として最も適当な点の一つであると考えたからである。

2. 調査の概要

高橋川は図-1 に示すように金沢市断地の前に位置し、標高約 500m の富樺山地を水源とする全流域長約 20km、中流域の川幅が 10m 程度の中河川である。高橋川の上流部八日町、同様に、平取川及び取水口付近は農用排水流入して、水量の減少による水深不足となり、河床は、夏期とも潜水である程度である。高橋川は伏見川の合流、伏見川は金沢市断地を縦断して、犀川に合流して日本海に注ぐ。高橋川の上流は主に人口密度低地帯であるが、伏見川合流点より前約 6km の流域は一部水田地帯があるが、人口密度は住民地域として高い。二山伏見川合流点より前約 6km の流域は、金沢市断地の地域は難波小学校以下が大部分を占め、又口 20,328 人、所帯数 5,790 戸(昭和 57 年 5 月 1 日、現在)、手洗、階梯式の排水溝の人口約 7,000 人、所帯数、約 1,000 戸であると推定される。

水質測定点、住民地域が付記された七十万石起算点より、図-2 中心部を示した MR-1 ~ MR-6 の計 6 つの測定地点は水質を実施した。左木、測定の終点は伏見川合流点より前約 1 km にあたる川町町立文化館、七十万石の横川町の距離は約 5.2 km² である。図-2 の右側に、測定区間内に存在する流入支川(川、排水溝等)排水路 SW-1 ~ SW-5 の位置が示されており、表-1 中心部伏見川本川流量と工支川累計流量の一例が示されている。左木、伏見川合流点より前約 1 km の流域は多くの下湯が存在するので、河川内水質汚濁に対する生活排水の影響を明確にする目的のことを本調査の対象外とする。

試料の採取は毎日一回とし、各測定地点は前川、前川中央部、表層水と深水を用いた。是以て下流側で二点を併用した。前川中央部平均流速は、前川中央部投入した浮子の漂流時間より求められ、水面下の河川横断面形状より、川幅が約 60 cm 調査する水深を測定する上に便利である。二点の測定結果より、高橋川の日流量は $5.2 \times 10^5 \text{ m}^3$ 程度であると推定された。各測定点の採水と雨水試料から、化学的酸素要求量 (COD) 減度は JIS K0101(1979) の 17 ページの過マンガン酸カリウム酸性法で、溶存酸素 (DO) 減度は JIS K0101(1979) 第 2 ページ、ニンクレー・アシ化ナトリウム液法で、そして培養イオン (Cl⁻) 減度は JIS K0101(1979) の 32-3 ページの硝酸銀滴定法で求めた。また、浮遊物 (SS) 減度は濁度、0.45 μm のミリボル・フィルターで試料水を通過し、ろ紙上の残り乾燥質量重量より求めめた。

3. 調査結果及参考

3.1. 水質 24 時間変化

流域の市民生活のリ富山市水質汚濁の關係並びに水質汚濁による影響、一昼夜時間帯で全 24 時間における水質測定を行った。図-3 (a) 図-2 に示した 6 ヶ所の測定地点 MR-1、上流 MR-1、中流 MR-3 及び下流 MR-6 の各測定地点で 13 時間間隔の測定結果を示した。図-3 (a) に示す測定地点ごとの流量と時間との関係を示したが、二の図より下流測定地点 MR-6 における流量が他の二つの測定地点における流量の数倍以上となることがわかった。また、同時に測定地点 MR-1 × MR-3 における流量の時間変化の間の差は小さく、これは明らかである。二の図より前川の流量が少なかったことがわかった。図-3 (b) に示す、各測定地点ごとの COD 減度と時間との関係を示したが、二の図より下流測定地点 MR-6 における COD 減度が他の二つの測定地点 MR-1 × MR-3 のそれよりもかなり高い値を示していけるに対し、他の二つの測定地点 MR-1 × MR-3 における COD 減度の時間変化の間の差は小さく、これがわかる。また、COD 減度は、測定地点によって大きくらず、13 時から 1 噂まで比較的はやかに減少したが、以後漸減し減少し 8 時ごろ最小となり、その後、再び漸増の增加傾向を示すようになった。図-3 (c) に示す、各測定地点ごとの DO 減度と時間との関係を示した。二の図より、下流測定地点 MR-6 における DO 減度は常に他の二つの測定地点 MR-1 × MR-3 のそれよりもかなり低い値を示していけるに対し、他の二つの測定地点 MR-1 × MR-3 における DO 減度の時間変化の間の差は小さく、これがわかる。また、DO 減度は、測定地点の違いにかかわらず、13 時以降漸増する傾向にあるが、二の図より下流測定地点 MR-6 における DO 減度が 4 時から 7 時にかけて急増する傾向がある。図-3 (d) に示す測定地点ごとの Cl⁻ 減度と時間との関係を示した。二の図より、下流測定地点 MR-6 における Cl⁻ 減度は、他の二つの測定地点 MR-1 × MR-3 におけるそれよりもかなり高い値を示していけるに対し、他の二つの測定地点 MR-1 × MR-3 における Cl⁻ 減度の時間変化の間の差は小さく、これがわかる。図-3 (e) に示す、各測定地点ごとの SS 減度と時間との関係を示した。二の図より、SS 減度は時間の経過とともに不規則な変化をするが、測定地点ごとに依存性は比較的緩慢であることが明るくなる。図-4 に示す、図-3 の生活排水による河川内水質の 24 時間変化が下流測定地点 MR-6 における結果を示す。二の図より、川詳細な結果が示すように、下流測定地点 MR-6 における 1 時間ごとの流量、COD 減度及び Cl⁻ 減度の全 24 時間の変化を示した。図-4 (a) に示す流量と時間との関係を示したが、二の図より、本測定期間の流量が時間の経過についてどのように変化していくかを知ることが可能である。図-4 (b) に示す COD 減度と時間との関係を示した。二の図より、流域内生活排水の朝食前、朝の洗濯時及び午後 6 時半ごろの COD 減度は徐々に増加し 9 時半ごろに最大値をとるが以後徐々に減少し、11 時半ごろに最小値となる。又二の図、昼食前にあたる 11 時半ごろの COD 減度は既に増加し、15 時半

了別の種水道をもつ。 そして夕食直前の 16 時半ごろ種水道をもつ水が、以後は急激に増加し 19 時半ごろ 24 時間平均の最高水道をもつ。 二の COD 浓度は急激な増加は流域の住民によるもの、夕食が主な原因とされる時間に河川へ放出される生活排水によるものと見られる。 2-3(a)、最高水道直後の COD 浓度は翌朝 6 時半ごろに最小となる時間が現れ、他のように増減をくり返す方が多く減少して 12 時ごろが最も高い。 二の深夜から早朝における COD 浓度の減少が、図-3(b) 及び(c)に示す工場排水と下水河川の自净作用が活躍したことに起因するものである。 二のようには COD 浓度の時間変化が流域の住民の生活によるものと最も早く現れることが明白である。 二の比較して、図-4(c)に示す水 Cl⁻ 浓度と時間との関係を見ると、例え成層層 13 時半ごろに種水道が生じた場合、流域の住民の生活による Cl⁻ 浓度との相関関係を多少認めたことである。 COD 浓度はこの傾向が明確ではないことは確かである。

3.2. 水質、場所的變化

水質汚濁の場所による浓度変化が示されたが、図-2 は赤い矢印の測定地点における水質の測定を行った。図-5 (a)、(b)、(c)、COD 濃度、Cl⁻ 濃度や SS 濃度が測定地点においては浓度が示された。図-5 (a) は水流量と測定地点との関係を示したが、二の田川の流量が下流に行くほど総工数によって增加する傾向がある。左側、二の田川の流量の増加が、表-1 に示されたように本川 SW-1 ~ SW-5 の横流入によるものであることが明らかである。図-5 (b) は COD 濃度と測定地点との関係を示したが、二の田川、COD 濃度が上流の測定地点 MR-1 より下流の測定地点 MR-5 まで比較的緩慢に増加する一方で、下流測定地点 MR-5 より MR-6 における急速な増加が示された。図-5 (c)、COD 濃度が下流測定地点で急増する時、表-1 中の本川及下流川の COD 累計量及下流川の本川へ流入する累計負荷量が七条川総合事業所より二の田川へ下流へ行く河川汚濁源の支川である累計流入量が増加するに伴い、下流の流域せき入り口密度が増加するに伴う生活排水源の汚濁濃度が増加するに伴うものと考えられる。図-5 (c) は水、Cl⁻ 濃度と測定地点との関係を示したが、二の田川の濃度が下流測定地点においては増加を COD 濃度が増加するに同様の原因によるものと考えられる。図-5 (d) は SS 濃度と測定地点との関係を示したが、二の田川の SS 濃度の測定場所によると浓度は示さないが、二の田川の特徴測定区間由来の変動幅が比較的狭く、これが特徴的である。

図-6 (a) より (b) によれば 1981 年 9 月 24 日と 10 月 2 日の測定による COD 濃度、レイノルズ数 Re フルード数 F ならびに流量が測定地点に依存して、それが変化したからである。この図中、流量ならびに COD 濃度の測定地点に対する位置関係は図-5 (a) 及び (b) と同様であるが、レイノルズ数とフルード数は測定場所に依存して不要な変化を示すので、全体として逆下流側へ行くほど小さく右側傾向が認められる。 $\lambda = 3.0$ 、レイノルズ数、フルード数が大きくなる河川の水表面からの曝氣が管人口付近の水質の自浄能力が向上するに効果があること、二の橋合口付近、上流側の水質の自浄能力が弱いことに対する、逆下流側へ行くほど水質の自浄能力が低下するところが見えて見える。

4. 緒論

二二二行省一在、高橋川の水質調査を通過工場；本年結果を要約した。此次の水質汚染は、

- 1) 水質の 24 時間変化率、二ノ瀬域に住む市民の生活リズムと良好な対応性が明確である。一方で、二ノ瀬川河口下流部川内より生活排水の影響を強く受けた河川の水質を調査した際には水質の 24 時間単位の変化を考慮する必要がある。
 - 2) 化学的酸素要求量 (COD) 濃度、溶存酸素 (DO) 濃度及水塩素イオン (Cl⁻) 濃度を指標として高橋川の水質の汚濁の程度が下流域に行くほど増加する事が明確である。
 - 3) 溶遊物 (SS) 濃度の場所に対する依存性は、二ノ瀬川の水質汚濁指標と比較して少すこより明確である。

が上の方へ走る。

最後に、二の高橋川の場合は上流部ほど水質の自浄能力が高く、逆に下流部ほど水質の自浄能力が低くなる事が示唆される。

6. 謝辞

本研究を遂行するにあたり、慶應工業大学土木工学科・木羽敏泰教授及共同研究室の学生諸君が多くの援助を賜った。ここに付記し謝辞に充てた。

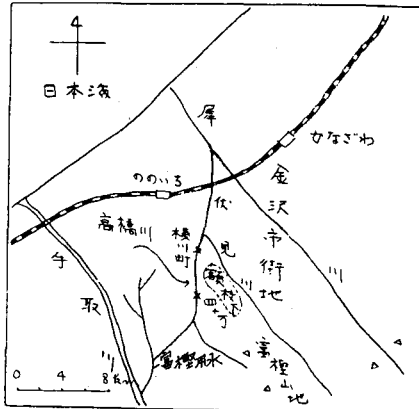


図-1 高橋川近傍の行政区図

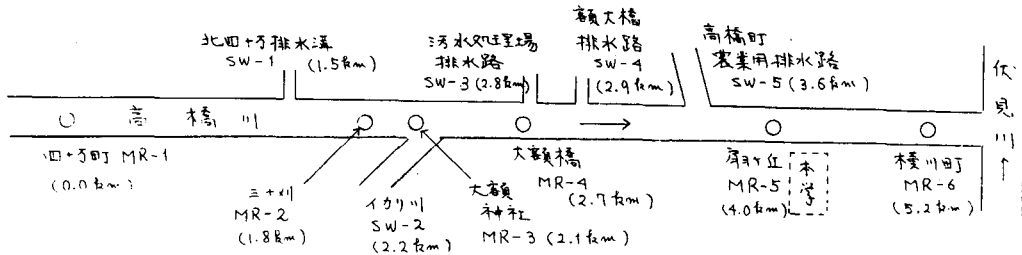


図-2 高橋川における測定地点 (MR-1 ~ MR-6) および流入支川 (SW-1 ~ SW-5) の概略図

表-1 本川および支川の流量、また COD, Cl, SS の負荷量と
それらの量の累計

本川	支川	流量 (m^3/s)	累計**	COD (g/s)	累計**	Cl (g/s)	累計**	SS (g/s)	累計**
MR-1		1.61	1.61	2.1	2.1	6.7	6.7	18.6	18.6
	SW-1	0.01	1.62	0.2	2.3	0.1	6.8	0.1	18.7
	SW-2	1.00	2.62	1.7	4.0	6.8	12.6	8.0	26.7
MR-4		2.83	7.6			13.2		39.6	
	SW-3	0.03	2.65	2.1	6.1	0.6	12.2	0.6	27.3
	SW-4	0.22	2.87	0.4	6.5	1.9	16.1	2.5	29.8
	SW-5	0.17	3.04	1.0	7.5	2.2	18.3	7.5	37.3
MR-6		5.56	12.0			26.0		35.1	

* 1981 Nov. 10, Nov. 24 の 2 測定値の平均値 (COD の Nov. 10 の測定値)

** MR-1 の負荷量に各支川の負荷量を累計した値 *** 推定値

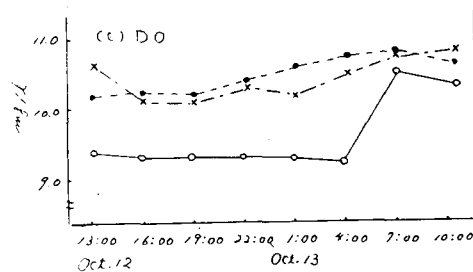
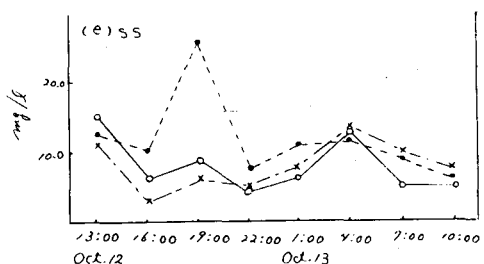
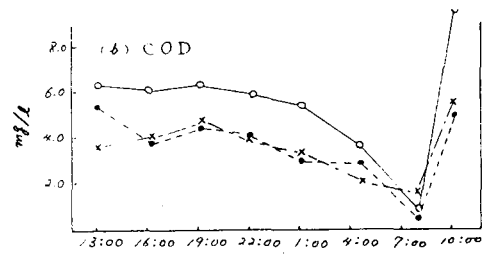
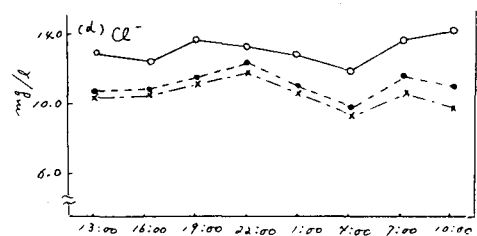
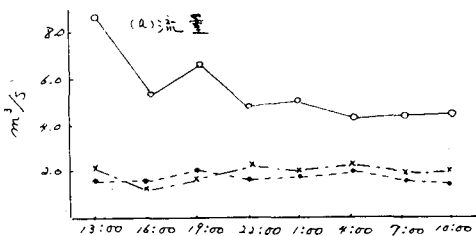


図-3 1981 Oct.12～Oct.13 の時間変化
—○— : MR-6, —×— : MR-3, - - - : MR-1

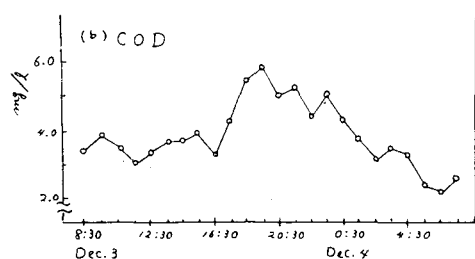
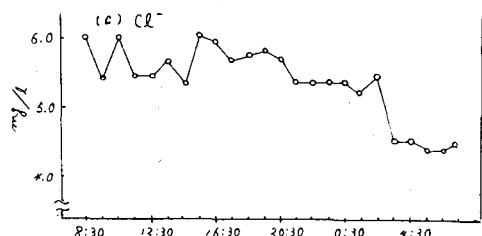
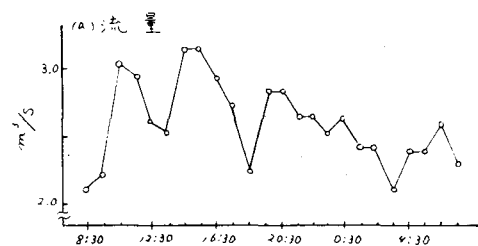


図-4 1981 Dec.3～Dec.4 MR-51: 時間変化

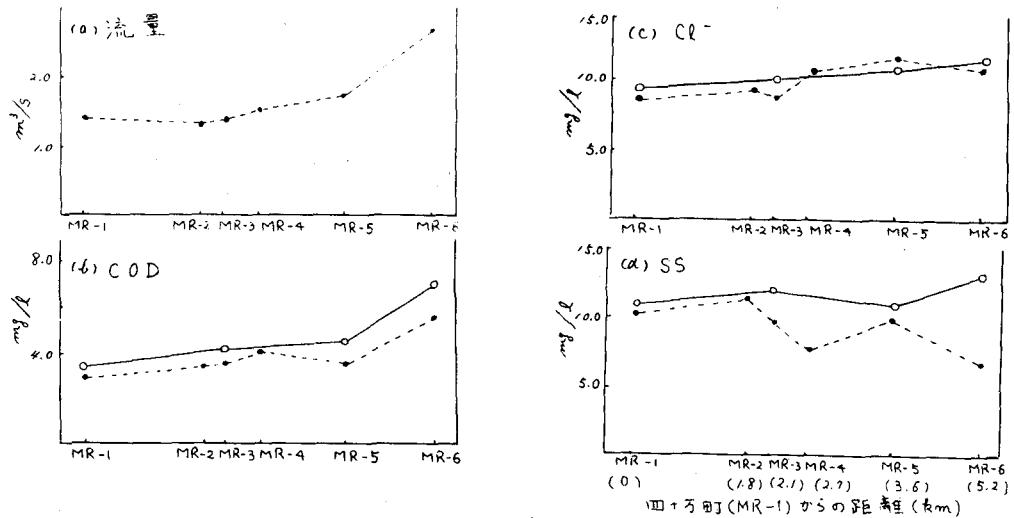


図-5 水質の端所的変化

—○— : 1980 Oct. ~ Dec. 9測定値の平均値
—●— : 1981 Sep. 24, Oct. 2 2測定値の平均値

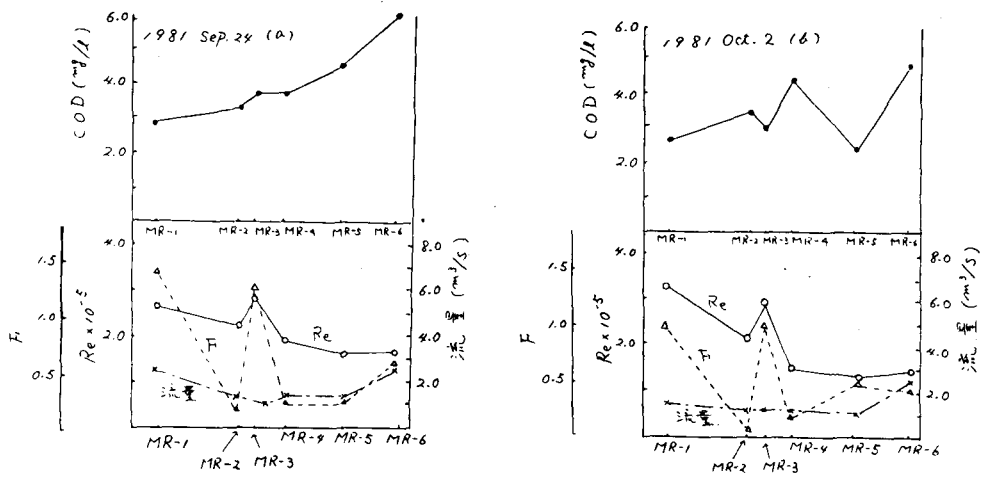


図-6 COD濃度×Re, F係数×流量の関係